

УДК 524.338.2

Спектральные наблюдения Ве-звезд в видимой области.

I.φ Per, ψ Per, 11 Cam, φ And

В. Д. Кругов

Проведены спектральные наблюдения 4 ярких Ве-звезд. У φ Per обнаружены значительные изменения эмиссии в линиях H_{α} и H_{β} . Эмиссионные профили H_{α} и H_{β} у ψ Per, по-видимому, меняются с периодом в несколько лет. Наблюдалось полное исчезновение эмиссии H_{α} в спектре 11 Cam. У φ And эмиссия в H_{α} оставалась постоянной в течение всего периода наблюдений.

SPECTRAL OBSERVATIONS OF Be STARS IN VISUAL RANGE. I. φ Per, ψ Per, 11 Cam, φ And, by Krugov V. D.—Spectral observations of four bright Be stars are analyzed. φ Per manifests considerable variations of emission in H_{α} and H_{β} . Emission profiles of H_{α} and H_{β} in ψ Per appear to vary with the period of several years. 11 Cam demonstrates complete disappearing of H_{α} emission. For φ And H_{α} emission does not show intensity variations during the observational period.

Характерными особенностями спектров Ве-звезд являются эмиссионные и абсорбционные линии, возникающие в оболочках этих объектов. До настоящего времени нет ответа на вопрос о происхождении этих оболочек и их дальнейшей судьбе. Для объяснения причин возникновения оболочек Ве-звезд был предложен ряд гипотез [2, 3, 6]. Однако все они со временем стали встречать определенные трудности при объяснении изменений наблюдавших величин V/R и E/C (V , R — интенсивность соответственно коротковолнового и длинноволнового компонентов эмиссионной линии, E — максимальная интенсивность эмиссии, C — интенсивность в основании эмиссионной линии). Например, вариации величины E/C вообще не могут быть объяснены на основании гипотезы О. Струве [3], поскольку вследствие постоянства скорости вращения звезды также должно быть неизменным количество выбрасываемого вещества, что не всегда согласуется с наблюдениями. Для объяснения изменений V/R в дальнейшем были использованы дополнительные предположения: о вращении Ве-звезды вокруг другой звезды, которая может быть либо обычной звездой, либо Ве-звездой; о пульсации оболочки [8]. Ни одна из существующих гипотез не может объяснить все наблюдавшиеся явления, возникающие в оболочках Ве-звезд.

Хорошо известно, что эмиссионные линии, наблюдавшиеся в спектрах Ве-звезд, могут возникать по следующим причинам: 1) быстрое вращение звезды (истечение вещества); 2) двойственность объекта; 3) движение вещества внутри оболочки; 4) выброс вещества из внутренних слоев звезды. Поэтому только многочисленные наблюдения помогут уточнить, какие из приведенных причин ответственны за возникновение эмиссии в оболочках этих звезд. Для этого вполне достаточно проводить наблюдения с умеренной дисперсией, которая позволяет разрешить V - и R -компоненты для многих Ве-звезд.

С 1983 г. на 70-см телескопе в Голосеево и 60-см телескопе на ВНБ «Терскол» нами проведены спектральные наблюдения Ве-звезд с дисперсией 8.6 и 4.4 нм/мм. Для φ Per, ψ Per, 11 Cam и φ And получено 34 спектрограммы в области 330—700 нм. Методика обработки спектрограмм описана в [1].

φ Per (HD 10516, B2 Ve [5], $v \sin i = 505$ км/с [10]). Результаты наблюдений φ Per, проведенных в течение 3 периодов 1983 г., представлены в табл. 1. Изменения профиля эмиссионных линий H_{α} и H_{β} для двух дат наблюдений приведены на рис. 1. Уверенно регистриро-

вались V - и R -компоненты эмиссионных линий H_{α} и H_{β} , хотя они не наблюдались в 1975—1977 гг. [9].

Нам удалось пронаблюдать в ночь 17/18.11.1983 значительные изменения эмиссии в H_{α} и H_{β} , которые можно объяснить перераспределение-

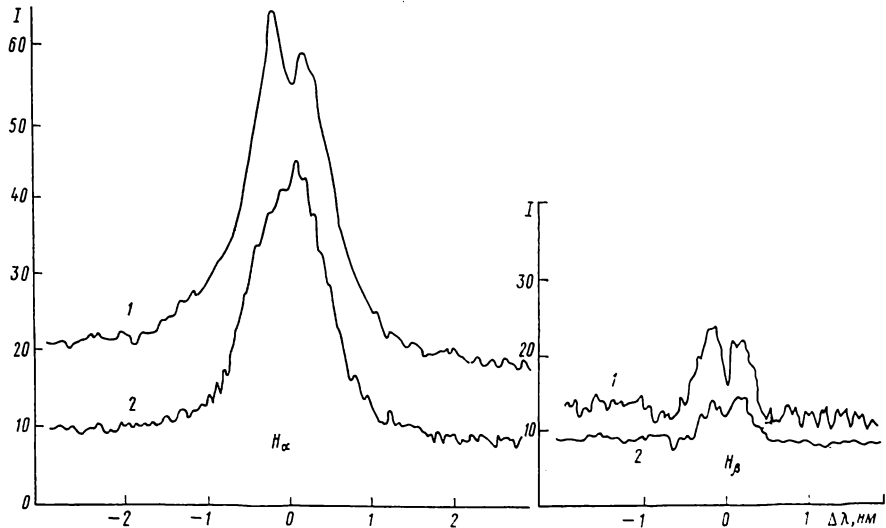


Рис. 1. Вариации эмиссии в оболочке φ Peg: 1—14/15.11.1983; 2—17/18.12.1983

нием вещества в оболочке звезды. Подобные вариации эмиссии наблюдали Абт и Голсон [4] в узкополосных фильтрах в 1963—1965 гг. Они обнаружили изменения эмиссии в H_{α} с периодом от одного месяца до

одного года. В дальнейшем вариации эмиссии у φ Peg изучались в течение многих лет [7], и на основании наблюдательных данных выдвинуто предположение о двойственности этого объекта. Наблюдения, приведенные в работе [9], показывают, что в 1975—1977 гг. у этой звезды не было резкой и узкой линии поглощения между компонентами V и R . От периода к периоду наблюдалась асимметрия линии. Для выяснения характера и причин изменения эмиссионных линий желательно продолжить наблюдения φ Peg.

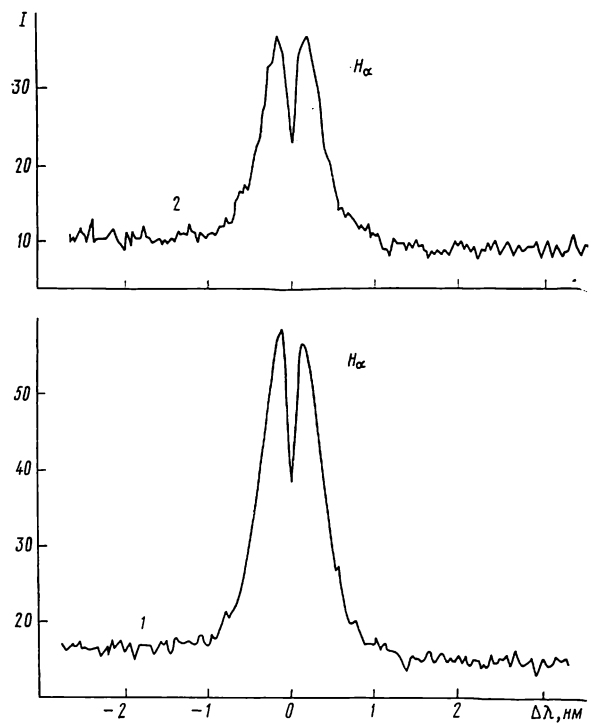


Рис. 2. Изменение эмиссии в оболочке φ Peg: 1—14/15.11.1983; 2—17/18.12.1983

φ Peg (HD 22192, B5 Ve [5], $v \sin i = 375$ км/с [10]). Наши наблюдения звезды представлены в табл. 1. На рис. 2 приведен профиль эмиссионной линии H_{α} для двух дат наблюдений. Результаты наблю-

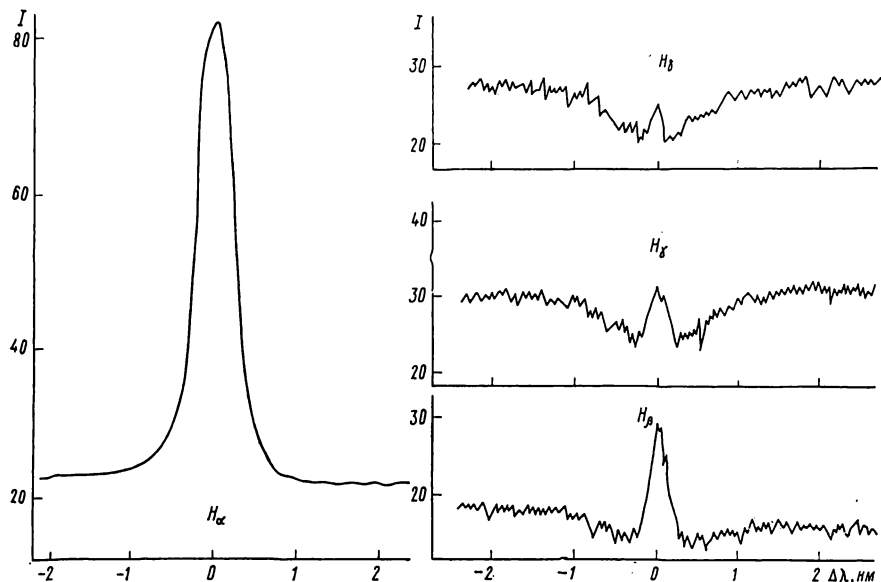


Рис. 3. Эмиссионные профили бальмеровских линий оболочки 11 Сам 16/11.1983

Таблица 1. Вариации эмиссии в линиях H_{α} и H_{β} в оболочках звезд ϕ Рег и ψ Рег

Дата наблюдений, 1983 г.	H_{α}				H_{β}				Дисперсия, нм/мм
	E_V/C	E_R/C	V/R	W , нм	E_V/C	E_R/C	V/R	W , нм	
ϕ Рег									
17/18.10	4.00	3.86	1.05	4.50	1.58	1.57	1.03	0.47	8.6
19/20.10	4.31	4.00	1.10	4.61	1.65	1.60	1.09	0.52	8.6
14/15.11	3.47	3.17	1.14	3.30	2.21	2.10	1.12	0.69	4.4
16/17.11	4.47	4.02	1.15	4.75	2.80	2.46	1.27	1.20	4.4
17/18.12	5.07	5.54	0.90	5.41	1.70	1.80	0.91	0.34	4.4
ψ Рег									
17/18.10	3.55	3.44	1.04	2.90	1.43	1.34	1.25	0.23	8.6
19/20.10	4.16	4.24	0.98	3.80	1.41	1.34	1.19	0.24	8.6
14/15.11	3.82	3.71	1.04	2.50	1.62	1.68	0.91	0.29	4.4
16/17.11	3.95	4.00	0.98	2.90	1.74	1.77	0.96	0.30	4.4
17/18.12	4.16	4.13	1.01	2.70	1.61	1.71	0.85	0.29	4.4

Таблица 2. Вариации эмиссии и поглощения в спектральных линиях H_{α} и H_{β} оболочки звезды 11 Сам. Величины E_{π}/C и W_{π} относятся к линии поглощения H_{β} . Дисперсия-4.4 нм/мм.

Дата наблюдений	H_{α}				H_{β}			
	E_V/C	E_R/C	V/R	W , нм	E_V/C	E_{π}/C	W_{π} , нм	W , нм
16/17.11.1983	3.80	4.06	0.92	1.82	3.71	—	—	0.71
13/14.03.1985	Непр.	спектр	—	—	—	-0.35	-1.46	—
H_{γ}								
Дата наблюдений	E_V/C	E_{π}/C	W_{π} , нм	W , нм	E_V/C	E_{π}/C	W , нм	W_{π} , нм
	1.38	—	—	0.07	1.35	—	0.04	—
16/17.11.1983	—	-0.40	-0.37	—	—	—	—	—
13/14.03.1985	—	—	—	—	—	—	—	—

дений показывают незначительные вариации эмиссии в линиях H_α и H_β от даты к дате. Обнаружены изменения эквивалентных ширин H_α и H_β . Эти наблюдения и данные других авторов [8, 9] позволяют пред-

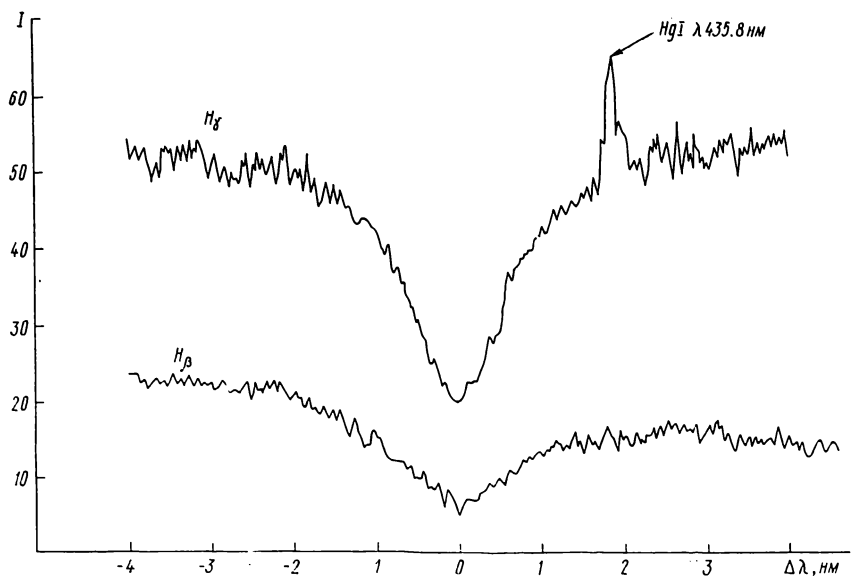


Рис. 4. Профили бальмеровских линий оболочки 11 Сам 13/14.03.1985

положить, что существуют вариации эмиссии в оболочке ψ Рег с периодом в несколько лет. Наблюдения 1932 г. [8] показывают, что величина V/R близка к 1.0. В 1975—1977 гг. обнаружены вариации эквивалент-

ной ширины и отмечено, что для H_α они являются реальными [9].

11 Cam (HD 32343, B2.5 Ve [5], $v \sin i = 130$ км/с [10]). Наблюдения проведены 16/17.11.1983 г. и 13/14.03.1985. Результаты приведены в табл. 2 и на рис. 3 и 4. Наблюдаются сильные вариации эмиссии. Так, в первую дату эмиссия в бальмеровских линиях прослеживалась вплоть до линии H_ϵ , а во

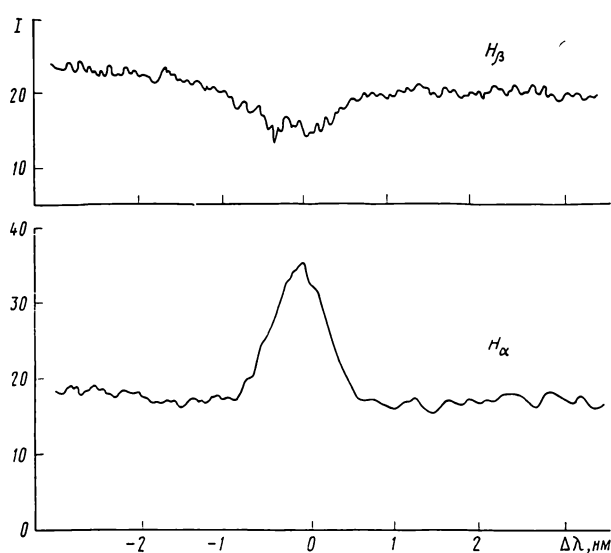


Рис. 5. Профили линий H_α и H_β у ϕ And 16/17.11.1983

вторую дату она полностью отсутствует. Наблюдения других авторов [8] также указывают на вариации величины E/C . Отмечается, что эта звезда является лучшим примером переменности величины E/C .

ϕ And (HD 6811, B7 Ve [5], $v \sin i = 75$ км/с [10]). Наблюдения звезды представлены в табл. 3 и на рис. 5. Профили эмиссионной линии H_α и линии поглощения H_β не менялись в течение всего наблюдательного периода. Линия поглощения H_β уширена по сравнению с другими бальмеровскими линиями. Этот эффект, по-видимому, связан с влиянием оболочки звезды.

Таблица 3. Изменение эмиссии и поглощения в линиях H_{α} и H_{β} в оболочке звезды φ And. E_{Π}/C и W_{Π} относятся к линии поглощения H_{β}

Дата наблюдений 1983 г.	H_{α}		H_{β}		Дисперсия, нм/мм
	E/C	W , нм	E_{Π}/C	W_{Π} , нм	
17/18.10	2.00	0.42	0.62	-0.50	8.6
19/20.10	2.02	0.42	0.64	-0.51	8.6
14/15.11	2.20	0.39	0.62	-0.49	4.4
16/17.11	2.35	0.45	0.67	-0.41	4.4
17/18.12	2.35	0.42	0.66	-0.43	4.4

Выводы. 1. У φ Per обнаружены значительные изменения эмиссионного профиля линий H_{α} и H_{β} . 2. Эмиссия в оболочке φ Per изменяется с периодом в несколько лет. 3. Наблюдалось полное исчезновение эмиссии в линии H_{α} в спектре 11 Cam. 4. У φ And эмиссионный профиль линии H_{α} не менялся в течение всего периода наблюдений в 1983 г.

1. Кругов В. Д. Активные Ве-звезды // Кинематика и физика небес. тел.—1985.—1, № 6.—С. 47—52.
2. Соболев В. В. Движущиеся оболочки звезд.—Л.: Изд-во ЛГУ, 1947.—114 с.
3. Струве О. Эволюция звезд. Данные наблюдений и их истолкование.—М.: Изд-во иностр. лит-ры, 1954.—280 с.
4. Abt H. A., Colson J. C. On the separation by Balmer-line photometry of high and low luminosity stars having H-Alpha in emission // Astrophys. J.—1966.—143, N 2.—P. 306—313.
5. Buscombe W. MK spectral classifications. Fifth general catalogue.—Evanston: Northwestern Univ., 1981.—230 p.
6. Gerasimovic B. P. Non-static hydrogen chromospheres and the problem of Be stars // Mon. Notic. Roy. Astron. Soc.—1934.—94, N 7.—P. 737—765.
7. Hynek J. A. The helium anomaly in φ Per // Astrophys. J.—1944.—100, N 1.—P. 151—157.
8. McLaughlin D. B. Notes on spectra of class Be // Ibid.—1937.—85, N 3.—P. 181—192.
9. Slettebak A., Reynolds R. C. H_{α} variations in the spectra of the brighter northern Be stars // Astrophys. J., Suppl. Ser.—1978.—38, N 3.—P. 205—228.
10. Uesugi A., Fukuda J. Revised catalogue of stellar rotational velocities.—Kyoto: Kyoto Univ., 1982.—83 p.

Глав. астрон. обсерватория АН УССР,
Киев

Поступила в редакцию 25.06.85